

36 荒廃山地における微細土砂の生産・流出とその対策に関する研究（II）
— 方法論的検討 —

前橋官林局

中田 雄

国立林業試験場

中井 裕一郎

1.はじめに

前報¹⁾において、山腹绿化工等施工により復旧途上にある久蔵沢と大面裸地をかかえる荒廃渓流松木沢（表-1）の出水時における渓流濃度を比較すると、後者の方が著しく大きいことを述べた。ここでは一例として図-2を再度紹介する。本報では、その後データ数を若干増えていふのみ、さらに方法論的検討を試みる。



図-1 調査箇所概念図

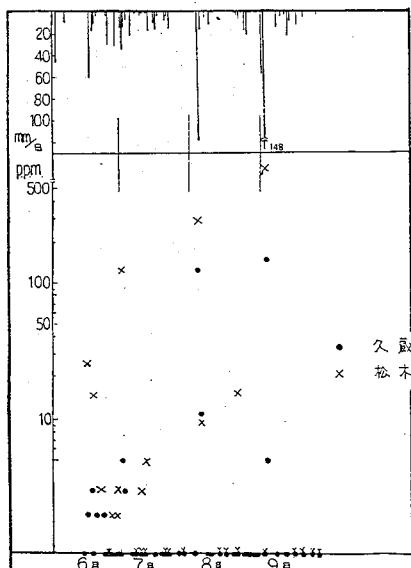


表-1 各流域の諸元

	久蔵沢	松木沢	足尾砂防ダム
流域面積	17.8 km ²	31.2 km ²	56.3 km ²
主河道長	6,000 m	11,600 m	12,600 m
裸地面積	90 ha	650 ha	860 ha

流域の概況 昭和31年より相田治山工事がはじまり、ローラーの起工回復がおられること。
相田治山工事施工面積は小さく、耕生の侵入はほとんどみられない。
久蔵沢・松木沢・仁田元沢の三川が匯合して合流している。

図-2 昭和61年夏期の渓流水力オリン濃度と日雨量

2. wash load と浮遊砂について

wash load と浮遊砂は区別しない。

wash load の定義としては、「河床材料に含まれないような細かい土砂が浮遊し、流れるもの。」がある。同様に、浮遊砂の定義としては、「水中に浮いて移動する砂。」がある。²⁾

ここで、wash load は「粒径約0.2mm以下の土砂」³⁾、浮遊砂は「掃流砂の影響を受けないと考えられる水深で採水された採水ビン中の土砂」⁴⁾と定義する。

いま、サンプル中の wash load W_w と浮遊砂 W_s の重量比をとると表-2のようになります。

$$W_s = 1.1 \times W_w$$

に近似できるものと仮定すると(ピーク流量発生前後で当然この係数は若干変化するものと思われるが⁵⁾、ここでは多少の考慮をしない)、以下の方法論的検討は wash load にも浮遊砂にも適用される。

表-2 wash load と浮遊砂の重量比

採水年月日	場所	浮遊砂量(g) A	wash load 量(g) B	A/B
1987/9/10	赤木	.74	.63	1.17
	久高	.05	.05	1.00
	ダム	.77	.70	1.10
	松木	10.29	7.88	1.31
	久高	.09	.09	1.00
	ダム	.58	.50	1.16
9/25	ダム	1.31	1.10	1.19
A/B		久高沢平均	1.00	
		松木沢平均	1.24	
		足尾砂防ダム平均	1.15	
		平均	1.13	

3. C(wash load 濃度) と Q(流量) について

経験則 $C(m^3/l) = k \cdot Q(m^3/s)$ が成立立つものと仮定する。

採水により C を実測し、同時にカオリין濃度 SS (P.P.M.) を測定したところ、表-3 のとおりである。wash load 中のカオリין濃度が一定と仮定して。

表-3 wash load 濃度とカオリין濃度の関係

C	測定年月日	場所	C (m^3/l)	SS (P.P.M.)	C/SS
C = 1.9 × SS	1987/9/25	久高	83	50	1.66
		ダム	455	220	2.07
		平均			1.87

に近似できるものとする。

こうしてデータを整理すると図-3 のようになる。

渡良瀬川源流部足尾荒廢地(直轄治山事業地)では、 $k = 10 \sim 100$ である。データの数が少ないので、あくまでも傾向であるが、久高沢において $k = 10$ 、松木沢で $k = 80$ 、足尾砂防ダム地点で $k = 30$ 程度である。

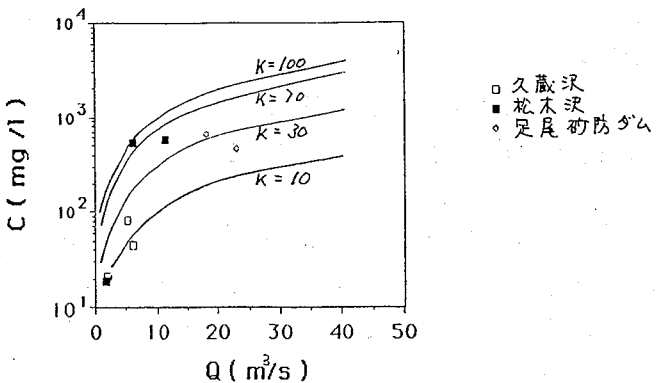


図-3 wash load濃度と流量の関係

4. Q_s (wash load 流量) と Q (流量) について

3. と同様に、 Q_s (m^3/s) と Q (m^3/s) について、経験則

$$Q_s = \alpha \times Q^2 \quad (\alpha: \text{定数})$$

が成り立つものとする。 Q と Q_s の関係は図-4 のようになる。

荒良瀬川最流部足尾荒廃地(直轄治山事業地)において、 $\alpha = 3.0 \times 10^{-6} \sim 3.0 \times 10^{-5}$ である。データの数が少ないので、あくまでも傾向であるが、荒廢流域松木沢の出口で $\alpha = 2.0 \times 10^{-5}$ 、三川合流後の足尾砂防ダム地点で $\alpha = 1.0 \times 10^{-5}$ 、復旧途上にある久蔵沢の出口で $\alpha = 5.0 \times 10^{-6}$ の順に α が大きい傾向にある。

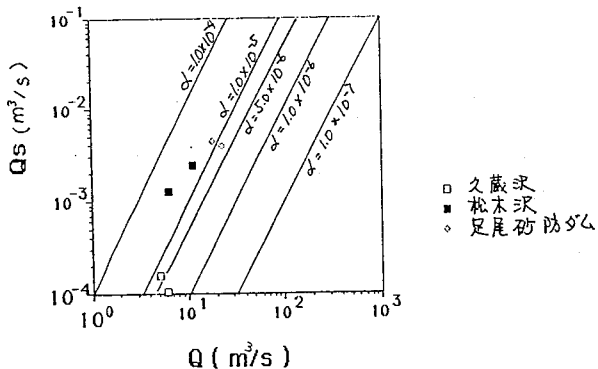


図-4 wash load 流量と流量の関係

5. おわりに

まだデータ数が少いが、現段階での傾向を調べ、今後のとりまとめの方針論を示した。
現段階では、崩壊地の绿化まで含めた治山・砂防計画が砂工砂流出対策の原則であることは確かだが、山地河川の工砂流出に関する諸法則にどの程度影響を与えるのか、定量的な事例検討にはデータ不足がある。

〈引用文献〉

- 1) 中田博：荒廃山地における微細工砂の生産・流出とその対策に関する研究（I），昭和 62 年度砂防学会研究発表会概要集，昭和 62 年 5 月，P98 - 101
- 2) 矢野勝正：水災害の科学，技報堂，昭和 46 年，P322 - 325
- 3) 村本嘉雄・道上正規・下島栄一：大戸川における微細砂の輸送過程について、京都大学防災研究所年報，第 16 号 B，1973，pp. 433 - 447
- 4) 建設省河川局砂防部砂防課・建設省土木研究所：砂防河川の土砂動態に関する研究、第 55 回建設省技術研究会報告，1982 年 10 月，P. 563 - 589